

УДК 532.529

Установление температуры в дисперсных потоках бескаркасных систем теплоотвода в космосе*

А.А. Сафронов¹, Н.И. Филатов¹, А.А. Коротеев², Н.В. Бондарева²

¹Исследовательский центр им. М.В. Келдыша, Москва

²Московский авиационный институт

E-mail: chkt4@yandex.ru

Проведено исследование установления профиля температуры при радиационном остывании диспергированной пелены капельных холодильников-излучателей. Показано, что процесс установления происходит немонотонно. Выполнен анализ влияния закономерностей исследуемого процесса на характеристики излучательных систем.

Ключевые слова: капельный холодильник-излучатель, диспергированная пелена, профиль температуры, излучательная способность.

Введение

В работе [1] рассматривалась задача расчета равновесного профиля температуры мелкодисперсной пелены капельных холодильников-излучателей (КХИ) при радиационном остывании. Найденное в ней решение для поглощающе-рассеивающего плоского слоя становится справедливым после начального переходного периода согласования распределения температуры и функции источника рассеяния. Для низкопотенциальных КХИ длительность переходного периода может быть сопоставима или даже превышать время пролета капель. Тепловой расчёт таких излучателей должен осуществляться с учетом переходных процессов.

Постановка задачи

Рассматривается капельная пелена, состоящая из параллельных капельных слоев — элементов ее структуры. Предполагается, что расстояние между капельными слоями много больше их толщины. Для идентификации капель используется индекс y . Считается, что частицы изотермические. Условия остывания капель в каждом капельном слое одинаковы, поэтому индекс y определяет номер элемента структуры. Уравнение остывания потока записывается в виде

$$\frac{1}{u} \cdot \frac{\partial T_y(t, x)}{\partial t} + \frac{\partial T_y(t, x)}{\partial x} = -\alpha T_y^4(t, x) + \varepsilon \alpha \sum_{i=1}^N \int_{-x}^{l-x} T_i^4(t, x + \tilde{x}) f_{|i-y|}(\tilde{x}) d\tilde{x}, \quad (1)$$

* Работа выполнена при поддержке РФФИ (соглашение № 14-19-00503-П).

где $T_y(t, x)$ — температура капель в слое с номером y , N — число слоев в пелене, x и t — координата центра капли и время; $\alpha = 3\sigma\varepsilon/(rcu\rho)$, здесь r , u , c и ρ соответственно радиус, скорость, теплоемкость и плотность вещества капель; σ — постоянная Стефана-Больцмана, ε — полная излучательная способность капли. В общем случае ε зависит от поля температуры в капле, ее радиуса и оптических свойств жидкости [2], однако при остывании капель в КХИ изменение ε достаточно мало. Интеграл в уравнении (1) описывает радиационное взаимодействие исследуемой капли с капельной пеленой. В нем использованы следующие обозначения: l — длина пролета капель в КХИ, $f_{|i-y|}$ — плотность распределения коэффициента излучения частицы в слое y с каплями из слоя с номером i . Угловой коэффициент взаимного переоблучения капли из слоя y и слоя i равен

$$\varphi_{|i-y|} = \int_{-l/2}^{l/2} f_{|i-y|}(\tilde{x}) dx.$$

В КХИ капли остывают достаточно медленно, и поведение системы (1) можно моделировать решением сосредоточенной задачи

$$\frac{1}{u\alpha} \cdot \frac{\partial T_y(t, x)}{\partial t} + \frac{1}{\alpha} \cdot \frac{\partial T_y(t, x)}{\partial x} + T_y^4(t, x) = \varepsilon \sum_{i=1}^N \varphi_{|i-y|} T_i^4(t, x). \quad (2)$$

Переходом от переменных $\{t; x\}$ к $\{p = ut - x; x\}$ можно упростить дифференциальный оператор уравнения (2), решение которого рассматривается на семействе характеристик $p = ut - x = \text{const}$. В этом случае

$$\frac{1}{\alpha} \cdot \frac{dT_y(p, x)}{dx} + T_y^4(p, x) = \varepsilon \sum_{i=1}^N \varphi_{|i-y|} T_i^4(p, x). \quad (3)$$

После введения новой переменной

$$\xi = (1 + 3\alpha T_0^3 x)^{-1/12}, \quad (4)$$

решение имеет вид

$$T_y(x) = T_0 \xi^4 \tau_y(\xi), \quad (5)$$

где T_0 — начальная температура капель, ξ — температура свободно остывающей капли, τ_y — отношение температуры капель в слое y к температуре свободно остывающей капли. Система уравнений для определения функции τ_y

$$\frac{1}{4} \xi \frac{d\tau_y}{d\xi} = \tau_y^4 - \tau_y - \varepsilon \sum_{i=1}^N \varphi_{|i-y|} \tau_i^4 \quad (6)$$

описывает установление температуры в структурированном дисперсном потоке. В целях упрощения системы ниже рассматривается капельный поток, состоящий из ядра и периферии (например, оптически толстая цилиндрическая пелена) со значением $\varepsilon = 1$. Поле температуры в его центре изменяется медленно, на периферии — значительно быстрее. Уравнения остывания принимают вид

$$\begin{aligned} \frac{1}{4} \xi \frac{d\tau_{\text{я}}}{d\xi} &= (1 - \varphi_1) \tau_{\text{я}}^4 - \tau_{\text{я}} - \psi_1 \tau_{\text{п}}^4, \\ \frac{1}{4} \xi \frac{d\tau_{\text{п}}}{d\xi} &= (1 - \varphi_2) \tau_{\text{п}}^4 - \tau_{\text{п}} - \psi_2 \tau_{\text{я}}^4, \end{aligned} \quad (7)$$

где ψ_1 , ψ_2 — соответственно угловые коэффициенты излучения ядра потока на периферию и обратно, а φ_1 и φ_2 — коэффициенты самооблучения ядра и периферии потока.

Анализ немонотонных процессов, возникающих при установлении профиля температуры

В момент установления равновесного профиля температуры потока правая часть уравнений (7) становится равной нулю. Если равновесные значения безразмерной температуры ядра и периферии равны $\tau_{я}^*$ и $\tau_{п}^*$, то система уравнений для их определения имеет один физически обоснованный корень. Для анализа поведения системы (7) в малой окрестности равновесных значений температуры использованы локальные переменные δx и δy такие, что $\tau_{я} = \tau_{я}^* + \delta x$ и $\tau_{п} = \tau_{п}^* + \delta y$. Система (7) в линейном приближении по малым величинам δx и δy имеет вид

$$\frac{1}{4} \xi \frac{d}{d\xi} \begin{pmatrix} \delta x \\ \delta y \end{pmatrix} = \begin{pmatrix} 4\tau_{я}^{*3}(1-\varphi_1) - 1 & -4\psi_1\tau_{п}^{*3} \\ -4\psi_2\tau_{я}^{*3} & 4\tau_{п}^{*3}(1-\varphi_2) - 1 \end{pmatrix} \begin{pmatrix} \delta x \\ \delta y \end{pmatrix}. \quad (8)$$

Для удобства представления результатов обозначим матрицу в этом выражении символом \hat{A} , а вектор переменных δx и $\delta y - \delta \vec{r}$, тогда получим

$$\frac{1}{4} \xi \frac{d}{d\xi} \delta \vec{r} = \hat{A} \delta \vec{r}. \quad (9)$$

Обсуждение результатов

Так как ξ уменьшается при увеличении x , следовательно, траектории решения системы (8), соответствующие движению по собственным векторам матрицы \hat{A} с положительными значениями, оказываются устойчивыми, и наоборот. Анализ собственных значений матрицы \hat{A} проведен при значениях коэффициентов ψ_1 , ψ_2 , φ_1 и φ_2 , удовлетворяющих закону сохранения энергии. В этом случае точка равновесия системы (7), соответствующая равновесному профилю температуры капельного потока, является устойчивым узлом. Параметрам в ней соответствовали следующие значения: $\psi_1 = 0,3$, $\psi_2 = 0,12$, $\varphi_1 = 0,85$, $\varphi_2 = 0,3$, $\tau_{я}^* \approx 2,36$, $\tau_{п}^* \approx 1,67$. Собственные числа матрицы \hat{A} составили: $\lambda_1 \approx 15,97$, $\lambda_2 \approx 3,09$. На рис. 1 представлены решения системы (8) вблизи особой точки. При движении по траектории 1 функция $\tau_{я}$, характеризующая остывание ядра потока, изменяется монотонно, а изменение температуры периферии $\tau_{п}$ является немонотонным. Такое поведение функции $\tau_{п}$ оказывает заметное влияние на величину теплового потока капельной пелены. Попадание решения полной задачи остывания пелены в область немонотонного изменения решения обусловлено действием таких факторов, как дальние радиационные взаимодействия в потоке, внешнее излучение и т.д.

Задачи (6) и (9) легко обобщаются на случай большей размерности. Вычисление производилось для $\rho = 10^3$ кг/м³, $c = 1,6 \cdot 10^3$ Дж/кгК, $r = 10^{-4}$ м, $\varepsilon = 0,8$, $l = 20$ м, $u = 2$ м/с [3]. Изучалась зависимость от различных параметров излучательной способности η капельного потока, которая является отношением энергии, излучаемой потоком капель в КХИ, к энергии, излучаемой абсолютно черным телом, заполняющим весь объем дисперсного потока и обладающим

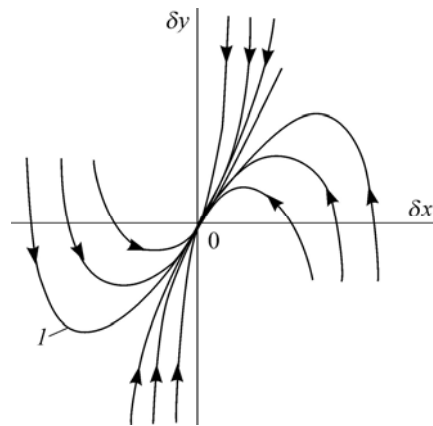


Рис. 1. Решения системы (8) вблизи особой точки.

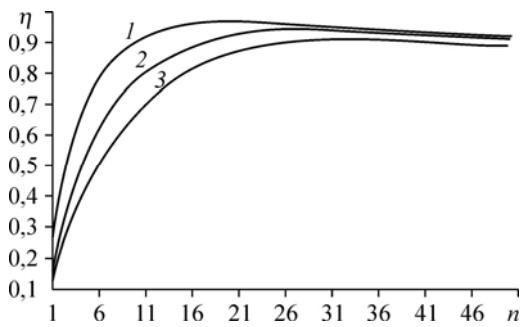


Рис. 2. Зависимость излучательной способности КХИ η от числа капельных слоев n (расстояние между каплями в струйке — 4,76 радиусов капель; расстояние между струйками — 4,76 (1), 7,5 (2), 10,0 (3) радиусов капель).

в каждой точке x температурой, равной среднемассовой температуре капель. На рис. 2 представлена зависимость η потока капель с $T_0 = 360$ К, от числа капельных слоев n для различных расстояний между струйками в слое. Существование максимума у зависимости $\eta(n)$ определяется закономерностями процесса установления профиля температуры, а его величина и положение — геометрией капельного потока и начальной температурой капель.

Заключение

Установление температуры при радиационном остывании диспергированного потока в космосе может происходить немонотонно и сопровождаться колебательными явлениями, характерными для модели потока, состоящего из ядра и периферии. Нелинейный процесс установления профиля температуры оказывает влияние на энергетические характеристики бескаркасных систем отвода низкопотенциального тепла в космосе.

Список литературы

1. Siegel R. Separation of variables solution for nonlinear radiative cooling // Int. J. Heat and Mass Transfer. 1987. Vol. 30, No. 5. P. 959–965.
2. Dombrovsky L.A., Dembele S., Wen J.X. A simplified model for the shielding of fire thermal radiation by water mists // Int. J. Heat and Mass Transfer. 2016. Vol. 96, No. 5. P. 199–209.
3. Коротеев А.А., Сафронов А.А., Филатов Н.И. Влияние структуры капельной пелены на мощность бескаркасных космических излучателей и эффективность энергетических установок // Теплофизика высоких температур. 2016. Т. 54, № 5. С. 817–820.

Статья поступила в редакцию 3 мая 2017 г.,
после доработки – 14 июня 2017 г.